



Laboratorium EMVO Sp. J. Urbański, Pawelak
ul. Jasna 1
00-013 Warszawa

tel. +48 22 780 29 64
e-mail: laboratorium@emvo.pl



AB 1630

Sprawozdanie z pomiarów pól elektromagnetycznych - środowisko nr 65/02/OŚ/2024 -P4-W



Nr i nazwa stacji	LUB1079B	
Adres	Lublin, Dobrzańskiego 35, pow. Lublin, woj. lubelskie	
Opracowanie		Specjalista ds. pomiarów
Autoryzacja		Kierownik Laboratorium
Podpis	Podpis jest prawidłowy Dokument podpisany przez [redacted] Laboratorium EMVO Data: 2024.02.18 20:00:26 CET	
Data	2024-02-16	

Spis treści

1. Informacje ogólne.....	3
2. Podstawa prawna.	3
3. Opis pomiarów.....	3
4. Zróżnicowanie dopuszczalne poziomy pól elektromagnetycznych.....	5
5. Charakterystyka źródeł PEM.....	6
6. Wyniki pomiarów.....	6
7. Stwierdzenie zgodności	7
8. Oświadczenie.....	8
9. Spis załączników.	9

1. Informacje ogólne.

Zleceniodawca	P4 sp. z o.o., ul. Wynałazek 1, 02-677 Warszawa osoba udzielająca informacji-
Istotne informacje dostarczone przez klienta	komplet informacji niezbędnych do wykonania pomiarów i opracowania sprawozdania
Dane otrzymane od klienta mogące mieć wpływ na ważność wyników	Dane anten sektorowych, dane anten radioliniowych, parametry pracy instalacji, ustawienie pochylenia anten
Prowadzący instalację	P4 sp. z o.o., ul. Wynałazek 1, 02-677 Warszawa
Lokalizacja obiektu	Lublin, Dobrzańskiego 35, pow. Lublin, woj. lubelskie
Miejsce instalacji anten	Dach budynku
Miejsce instalacji urządzeń	Outdoor
Osoby wykonujące pomiar	
Data wykonania pomiaru	16.02.2024
Temperatura na początku pomiaru [°C]	2,1
Temperatura na koniec pomiaru [°C]	2,9
Warunki atmosferyczne	Brak opadów
Wilgotność na początku pomiaru [%]	66,0
Wilgotność na koniec pomiaru [%]	68,7
Godzina na początku pomiaru	8:35
Godzina na koniec pomiaru	9:53
Inne źródła pól elektromagnetycznych oznaczone na załączniku graficznym	Występują
Parametry pracy instalacji	Tryb eksploatacyjny

2. Podstawa prawna.

2.1 Normy i rozporządzenia:

- Ustawa z dnia 27 kwietnia 2001 r. Prawo Ochrony Środowiska (Dz. U. z 2022 r., poz 2556 z późn. zm.)
- Rozporządzenia Ministra Zdrowia z dnia 17 grudnia 2019 r. w sprawie dopuszczalnych poziomów pól elektromagnetycznych w środowisku (Dz. U. z 2019 r., poz. 2448),
- Rozporządzenie Ministra Klimatu z dnia 17.02.2020 r. w sprawie sposobów sprawdzania dotrzymania dopuszczalnych poziomów pól elektromagnetycznych w środowisku (Dz. U. z 2022 r., poz. 2630).

3. Opis pomiarów

Metodologia pomiarowa	Pomiary w oparciu o Rozporządzenie Ministra Klimatu z dnia 17 lutego 2020 r. w sprawie sposobów sprawdzania dotrzymania dopuszczalnych poziomów pól elektromagnetycznych w środowisku (Dz.U. 2022 poz. 2630).
Cel badań	Określenie wartości natężenia pola elektrycznego w miejscach dostępnych dla ludności.
Opis zestawu pomiarowego	Miernik Narda NBM 520 nr D-1661 - 15/WL, Sonda EF9091 nr A-0059 - 16/WL, o zakresie pomiarowym 0,7 V/m - 300V/m pracująca w paśmie 0,1 – 90 GHz, świadectwo wydane przez Laboratorium Wzorców i Metrologii Pola Elektromagnetycznego, Instytut Telekomunikacji, Teleinformatyki i Akustyki Politechniki Wrocławskiej. Świadectwo wzorcowania LWiMP/W/265/23 ważne do 27.06.2025. Miernik Narda NBM 520, Sonda EF 9091 pracująca w zakresie temperatury -10°C - +50°C oraz wilgotności 5% - 95%. Niepewność rozszerzona wynosi 55,8% przy poziomie ufności 95% z uwzględnieniem współczynnika rozszerzenia k=2.
Wyposażenie pomocnicze	Termohigrometr Termik+S nr 1490823 - 53/WL. Sprawdzany okresowo. Dalmierz laserowy BOSCH Professional GLM 40 nr 330204695 - WL/61. Sprawdzany okresowo. GPS Garmin 65 nr 6QA008956 - WL/62. Sprawdzany okresowo w punktach osnowy geodezyjnej, zgodnie z procedurą laboratorium PZ-6.5 sprawdzanie wewnętrzne WL.
Pomiary zostały wykonane	<ol style="list-style-type: none">1. na głównych i pomocniczych kierunkach pomiarowych, na kierunkach zbliżonych do azymutów anten oraz w dodatkowych pionach pomiarowych zgodnie z wymaganiami pkt 12, 13, 14 i 19 Rozporządzenia Ministra Klimatu z dnia 17 lutego 2020 r. (Dz.U. 2022 poz. 2630). Wybór i lokalizacja pionów pomiarowych, w tym znajdujących się wewnątrz lokali, zostały ustalone zgodnie z procedurą laboratorium nr PP-7.3/7.4/7.5-11, z uwzględnieniem: rodzaju badanej instalacji (w tym parametrów technicznych instalacji), lokalizacji badanej instalacji, ukształtowania terenu wokół badanej instalacji.2. na obszarze pomiarowym, dla którego, na podstawie uprzednio przeprowadzonych obliczeń stwierdzono w miejscach dostępnych dla ludności występowanie pól elektromagnetycznych o najwyższym poziomie, które pochodzą z badanej instalacji zgodnie z wymaganiami pkt 5 ppkt 2 oraz pkt 13 ppkt 1 Rozporządzenia Ministra Klimatu z dnia 17 lutego 2020 r. w sprawie sposobów sprawdzania dotrzymania dopuszczalnych poziomów pól elektromagnetycznych w środowisku (Dz.U. 2022 poz. 2630). Wyniki obliczeń nie uwzględniały parametrów pracy instalacji innych operatorów występujących na obiekcie bądź w obszarze pomiarowym.3. w miejscach dostępnych dla ludności.4. miejsca niedostępne podczas wykonywania pomiarów wskazane zostały w pkt 6 (tabeli wyniki pomiarów)5. w dodatkowych pionach pomiarowych w lokalach oraz na balkonach i tarasach, na których mogą przebywać ludzie, po poinformowaniu o planowanych pomiarach z minimum 3-dniowym wyprzedzeniem i po umożliwieniu dostępu do lokalu, balkonu lub tarasu przez jego dysponenta lub bez zachowania terminu wskazanego w pierwszej części

zdania za zgodą dysponenta przestrzeni pomiarowej.

Sposób powiadamiania dysponentów

Zgodnie z pkt 14 Rozporządzenia Ministra Klimatu z dnia 17 lutego 2020 r. w sprawie sposobów sprawdzania dotrzymania dopuszczalnych poziomów pól elektromagnetycznych w środowisku (Dz.U. 2022 poz. 2630). poinformowano dysponentów lokali o planowanych pomiarach.

Informacji dokonano między innymi poprzez:

1. bloki mieszkalne – zawiadomienie spółdzielni mieszkaniowej, zarządcy nieruchomości, zarządu wspólnoty, umieszczenie informacji o planowanych pomiarach na tablicach ogłoszeń w klatkach schodowych bloków lub na drzwiach wejściowych,
2. biurowce, budynki użyteczności publicznej itp. - przekazanie zawiadomienia do administracji lub recepcji obiektu,
3. domy jednorodzinne, szeregowce itp.- pozostawienie informacji w skrzynkach pocztowych itp. lub przekazanie osobiste.

Warunki pracy urządzeń nadawczych

Tryb pracy eksploatacyjny.

4. Zróżnicowanie dopuszczalne poziomy pól elektromagnetycznych.

Zakresy znajdują się w Dzienniku Ustaw z dnia 17 grudnia 2019 r. przedstawione są w tabeli nr 2 (Dz. U. z 2019r. poz. 2448).

Parametr fizyczny Zakres Częstotliwości pola elektromagnetycznego	Składowa elektryczna E (V/m)	Składowa magnetyczna H (A/m)	Gęstość mocy S (W/m ²)
od 400 MHz do 2000 MHz	$1,375 \times f^{0,5}$	$0,0037 \times f^{0,5}$	f / 200
od 2 GHz do 300 GHz	61	0,16	10

5. Charakterystyka źródeł PEM.

Zgodnie z informacją otrzymaną od Klienta pomiary zostały wykonane przy ustawieniach pochylenia anten zgodnych z pkt. 13, ppkt 2 Rozporządzenia Ministra Klimatu z dnia 17 lutego 2020 roku.

Tabela 1. Anteny sektorowe – dane otrzymane od klienta

Charakterystyka promieniowania		kierunkowa											
Rzeczywisty czas pracy [h/dobę]		24											
Rodzaj wytwarzanego pola		stacjonarne											
Lp	Wyszczególnienie	sektor 1						sektor 2					
I Nadajnik stacji bazowej:													
1	Typ / Producent	RBS / SRAN Ericsson											
2	Częstotliwość (pasmo) MHz	3500	2100	1800	900	2600	800	3500	2100	1800	900	2600	800
3	Maksymalna moc nadawana na sektor [dBm]	53,01	53,01	53,01	47,78	52,04	49,03	53,01	53,01	53,01	47,78	52,04	49,03
II Obciążenie:													
1	Typ anteny	Ericsson AIR 3278	Huawei ATR4518R6			Huawei ATR4518R6		Ericsson AIR 3278	Huawei ATR4518R6			Huawei ATR4518R6	
2	Producent anteny	Ericsson	Huawei			Huawei		Ericsson	Huawei			Huawei	
3	Nazwa anteny	13_Y	11_GH LNT	11_GH LNT	11_GH LNT	12_HV	12_HV	23_Y	21_GH LNT	21_GH LNT	21_GH LNT	22_HV	22_HV
4	Ilość anten	1	1			1		1	1			1	
5	Azymut	10						110					
6	Zakres kątów pochylenia anten [°]	4,00-9,00	0,00-10,00	0,00-10,00	0,00-10,00	0,00-10,00	0,00-10,00	4,00-9,00	0,00-10,00	0,00-10,00	0,00-10,00	0,00-10,00	0,00-10,00
7	Wysokość zainst. n.p.t. [m]	40,15						40,50					
8	EIRP [W]	10215	21635			12056		10215	21635			12056	

Charakterystyka promieniowania		kierunkowa											
Rzeczywisty czas pracy [h/dobę]		24											
Rodzaj wytwarzanego pola		stacjonarne											
Lp	Wyszczególnienie	sektor 3											
I Nadajnik stacji bazowej:													
1	Typ / Producent	RBS / SRAN Ericsson											
2	Częstotliwość (pasmo) MHz	3500	2100	1800	900	2600	800						
3	Maksymalna moc nadawana na sektor [dBm]	53,01	53,01	53,01	47,78	52,04	49,03						
II Obciążenie:													
1	Typ anteny	Ericsson AIR 3278	Huawei ATR4518R6			Huawei ATR4518R6							
2	Producent anteny	Ericsson	Huawei			Huawei							
3	Nazwa anteny	33_Y	31_GHLNT	31_GHLNT	31_GHLNT	32_HV	32_HV						
4	Ilość anten	1	1			1							
5	Azymut	270											
6	Zakres kątów pochylenia anten [°]	4,00-9,00	0,00-10,00	0,00-10,00	0,00-10,00	0,00-10,00	0,00-10,00						
7	Wysokość zainst. n.p.t. [m]	40,65											
8	EIRP [W]	10215	21635			12056							

Tabela 2. Anteny radioliniowe – dane otrzymane od klienta

„Bez pisemnej zgody Laboratorium niniejsze sprawozdanie nie może być powielane inaczej, jak tylko w całości. Ponadto wyniki dotyczą tylko badanych obiektów przywołanych w niniejszym sprawozdaniu z badań”

Charakterystyka promieniowania				kierunkowa			
Rzeczywisty czas pracy [h/dobę]				24			
Rodzaj wytwarzanego pola				stacjonarne			
L p	Linia radiowa			Antena			
	typ/producent	częstotliwość pracy [GHz]	moc wyjściowa [dBm]	typ/producent	średnica anteny [m]	azymut [°]	wysokość zainstal. [m]
1	OPTIX RTN/HUAWEI	80	18	VHLP2-80/Andrew	0,6	47	38,20
2	OPTIX RTN/HUAWEI	80	18	A80S03/Huawei	0,3	151	38,90
3	OPTIX RTN/HUAWEI	80	18	VHLP1-80/Andrew	0,3	154	38,15
4	OPTIX RTN/HUAWEI	23	21	VHLPX2-23/Andrew	0,6	185	37,50

6. Wyniki pomiarów.

Wyniki pomiarów pól elektromagnetycznych dla celów ochrony środowiska przedstawia poniższa tabela. Piony pomiarowe zostały przedstawione w zał. 2.

Nr PP	Pole-E [V/m]	Pole-E, +U [V/m]	Pole-H [A/m]	Pole-H +U [A/m]	Wys. pomiaru [m]	Opis pionu	Uwagi	WM _E	WM _H
1	1,5	2,34	0,004	0,006	0,3-2,0	51°13'34.2"N 22°37'24.3"E	otoczenie stacji bazowej - wzdłuż gł. osi promieniowania - GKP	0,083	0,085
2	1,4	2,18	0,004	0,006	0,3-2,0	51°13'35.3"N 22°37'24.8"E	otoczenie stacji bazowej - wzdłuż gł. osi promieniowania - GKP	0,078	0,079
3	1,2	1,87	0,003	0,005	0,3-2,0	51°13'36.9"N 22°37'25.4"E	otoczenie stacji bazowej - wzdłuż gł. osi promieniowania - GKP	0,067	0,068
4	1,9	2,96	0,005	0,008	0,3-2,0	51°13'31.4"N 22°37'26.2"E	otoczenie stacji bazowej - wzdłuż gł. osi promieniowania - GKP	0,106	0,108
5	1,8	2,80	0,005	0,007	0,3-2,0	51°13'30.7"N 22°37'28.6"E	otoczenie stacji bazowej - wzdłuż gł. osi promieniowania - GKP	0,100	0,102
6	1,2	1,87	0,003	0,005	0,3-2,0	51°13'29.6"N 22°37'32.1"E	otoczenie stacji bazowej - wzdłuż gł. osi promieniowania - GKP	0,067	0,068
7	1,1	1,71	0,003	0,005	0,3-2,0	51°13'29.1"N 22°37'33.6"E	otoczenie stacji bazowej - wzdłuż gł. osi promieniowania - GKP	0,061	0,062
8	1,1	1,71	0,003	0,005	0,3-2,0	51°13'28.4"N 22°37'35.5"E	otoczenie stacji bazowej - wzdłuż gł. osi promieniowania - GKP	0,061	0,062
9	1,0	1,56	0,003	0,004	0,3-2,0	51°13'28.3"N 22°37'37.9"E	otoczenie stacji bazowej - wzdłuż gł. osi promieniowania - GKP	0,056	0,057
10	1,0	1,56	0,003	0,004	0,3-2,0	51°13'27.6"N 22°37'39.8"E	otoczenie stacji bazowej - wzdłuż gł. osi promieniowania - GKP	0,056	0,057
11	1,6	2,49	0,004	0,007	0,3-2,0	51°13'32.2"N 22°37'20.3"E	otoczenie stacji bazowej - wzdłuż gł. osi promieniowania - GKP	0,089	0,091
12	1,4	2,18	0,004	0,006	0,3-2,0	51°13'32.2"N 22°37'18.6"E	otoczenie stacji bazowej - wzdłuż gł. osi promieniowania - GKP	0,078	0,079
13	1,2	1,87	0,003	0,005	0,3-2,0	51°13'32.3"N 22°37'16.3"E	otoczenie stacji bazowej - wzdłuż gł. osi promieniowania - GKP	0,067	0,068
14	1,2	1,87	0,003	0,005	0,3-2,0	51°13'32.3"N 22°37'12.7"E	otoczenie stacji bazowej - wzdłuż gł. osi promieniowania - GKP	0,067	0,068
15	1,1	1,71	0,003	0,005	0,3-2,0	51°13'32.4"N 22°37'09.5"E	otoczenie stacji bazowej - wzdłuż gł. osi promieniowania - GKP	0,061	0,062
16	0,8	1,25	0,002	0,003	0,3-2,0	51°13'32.4"N 22°37'06.0"E	otoczenie stacji bazowej - wzdłuż gł. osi promieniowania - GKP	0,045	0,045
17	1,2	1,87	0,003	0,005	0,3-2,0	51°13'33.4"N 22°37'25.4"E	otoczenie stacji bazowej - wzdłuż gł. osi promieniowania - GKP	0,067	0,068
18	1,1	1,71	0,003	0,005	0,3-2,0	51°13'34.4"N 22°37'27.5"E	otoczenie stacji bazowej - wzdłuż gł. osi promieniowania - GKP	0,061	0,062
19	0,9	1,40	0,002	0,004	0,3-2,0	51°13'35.5"N 22°37'29.7"E	otoczenie stacji bazowej - wzdłuż gł. osi promieniowania - GKP	0,050	0,051

„Bez pisemnej zgody Laboratorium niniejsze sprawozdanie nie może być powielane inaczej, jak tylko w całości. Ponadto wyniki dotyczą tylko badanych obiektów przywołanych w niniejszym sprawozdaniu z badań”

Nr PP	Pole-E [V/m]	Pole-E, +U [V/m]	Pole-H [A/m]	Pole-H +U [A/m]	Wys. pomiaru [m]	Opis pionu	Uwagi	WM _E	WM _H
20	1,3	2,03	0,003	0,005	0,3-2,0	51°13'30.5"N 22°37'25.1"E	otoczenie stacji bazowej - wzdłuż gł. osi promieniowania - GKP	0,072	0,074
21	1,2	1,87	0,003	0,005	0,3-2,0	51°13'28.5"N 22°37'26.3"E	otoczenie stacji bazowej - wzdłuż gł. osi promieniowania - GKP	0,067	0,068
22	0,9	1,40	0,002	0,004	0,3-2,0	51°13'26.6"N 22°37'27.4"E	otoczenie stacji bazowej - wzdłuż gł. osi promieniowania - GKP	0,050	0,051
23	1,2	1,87	0,003	0,005	0,3-2,0	51°13'30.3"N 22°37'23.8"E	otoczenie stacji bazowej - wzdłuż gł. osi promieniowania - GKP	0,067	0,068
24	1,1	1,71	0,003	0,005	0,3-2,0	51°13'28.5"N 22°37'23.3"E	otoczenie stacji bazowej - wzdłuż gł. osi promieniowania - GKP	0,061	0,062
25	1,0	1,56	0,003	0,004	0,3-2,0	51°13'26.9"N 22°37'22.8"E	otoczenie stacji bazowej - wzdłuż gł. osi promieniowania - GKP	0,056	0,057
A	4,1	6,39	0,011	0,017	0,3-2,0	51°13'32.4"N 22°37'23.3"E	Dobrzańskiego 35, pomiar w otworze okiennym, piętro 10, klatka -DPP	0,228	0,232
	3,5	5,45	0,009	0,014	0,3-2,0		Dobrzańskiego 35, pomiar w otworze okiennym, piętro 9, klatka - DPP	0,195	0,198
B	6,2	9,66	0,016	0,026	0,3-2,0	51°13'31.4"N 22°37'21.1"E	Dobrzańskiego 33, pomiar w otworze okiennym, piętro 10, klatka -DPP	0,345	0,351
	5,7	8,88	0,015	0,024	0,3-2,0		Dobrzańskiego 33, pomiar w otworze okiennym, piętro 9, klatka - DPP	0,317	0,323
C	1,9	2,96	0,005	0,008	0,3-2,0	51°13'30.9"N 22°37'26.2"E	Dobrzańskiego 37 , pomiar w otworze okiennym, piętro 1 -DPP	0,106	0,108
	1,7	2,65	0,005	0,007	0,3-2,0		Dobrzańskiego 37, pomiar przy wejściu -DPP	0,095	0,096
D	1,1	1,71	0,003	0,005	0,3-2,0	51°13'32.4"N 22°37'06.9"E	Dobrzańskiego 7b, pomiar przy otworze okiennym przed budynkiem -DPP	0,061	0,062

Wynik pomiaru pole - E [V/m] - maksymalna wartość chwilowa zmierzona w danym pionie pomiarowym (uśredniona na podstawie punktu 11 załącznika do Rozporządzenia Ministra Klimatu z dnia 17 lutego 2020 r. w sprawie sposobów sprawdzania dotrzymania dopuszczalnych poziomów pól elektromagnetycznych w środowisku (Dz.U. 2022 poz. 2630)). Zgodnie z pkt. 7 załącznika do Rozporządzenia Ministra Klimatu z dnia 17 lutego 2020 r. w sprawie sposobów sprawdzania dotrzymania dopuszczalnych poziomów pól elektromagnetycznych w środowisku (Dz.U. 2022 poz. 2630) nie stosuje się poprawek pomiarowych.

Przyjęto najniższą dopuszczalną wartość składowej elektrycznej pola dla objętego pomiarami zakresu częstotliwości $\min(ME_{gr})= 28 \text{ V/m}$ oraz składowej magnetycznej $\min(MH_{gr})= 0,073 \text{ A/m}$.

* - wartość zmierzona poniżej zakresu akredytacji. Do obliczeń przyjęto wartość zgodną z dolną granicą akredytowanego zakresu pomiarowego metody.

GKP - główne kierunki pomiarowe

PKP - pomocnicze kierunki pomiarowe

DPP - dodatkowe punkty pomiarowe

PP - pion pomiarowy

U - niepewność pomiarowa rozszerzona, przy poziomie ufności 95%, z uwzględnieniem współczynnika rozszerzenia $k=2$

WM_E - wartość wskaźnikowa poziomu emisji pól elektromagnetycznych dla miejsc dostępnych dla ludności dla składowej elektrycznej pola

WM_H - wartość wskaźnikowa poziomu emisji pól elektromagnetycznych dla miejsc dostępnych dla ludności dla składowej magnetycznej pola

7. Stwierdzenie zgodności

Na podstawie wytycznych podanych w Rozporządzeniu Ministra Zdrowia z dnia 17 grudnia 2019 r. w sprawie dopuszczalnych poziomów pól elektromagnetycznych w środowisku (Dz.U. 2019 poz. 2448) oraz sposobów sprawdzania dotrzymania tych poziomów zgodnie z Rozporządzeniem Ministra Klimatu z dnia 17 lutego 2020 r. w sprawie sposobów sprawdzania dotrzymania dopuszczalnych poziomów pól elektromagnetycznych w środowisku (Dz.U. 2022 poz. 2630), dotyczących źródła wymagań, które muszą być spełnione, w oparciu o zasadę

„Bez pisemnej zgody Laboratorium niniejsze sprawozdanie nie może być powielane inaczej, jak tylko w całości. Ponadto wyniki dotyczą tylko badanych obiektów przywołanych w niniejszym sprawozdaniu z badań”

podejmowania decyzji zgodną z pkt. 26 Rozporządzenia Ministra Klimatu z dnia 17 lutego 2020 r. (Dz.U. 2022 poz. 2630), na podstawie wyników pomiarów pól elektromagnetycznych wykonanych w dniu 16.02.2024r. stwierdzono, że wszystkie wyniki przeprowadzonych pomiarów w danym obszarze pomiarowym oraz wyznaczone na tej podstawie wskaźniki WME oraz WMH są mniejsze od wartości dopuszczalnych – zgodnie z przepisami wydanymi na podstawie art. 122 ust. 1 ustawy z dnia 27 kwietnia 2001 r. – Prawo ochrony środowiska – załącznikiem do Rozporządzenia Ministra Klimatu i Środowiska z dnia 17 lutego 2020 r. w sprawie sposobów sprawdzania dotrzymywania dopuszczalnych poziomów pól elektromagnetycznych w środowisku (Dz.U. 2022 poz. 2630, pkt 26).

8. Oświadczenie.

Wyniki badania odnoszą się wyłącznie do badanego obiektu.

Bez pisemnej zgody sprawozdanie nie może być powielane inaczej, jak tylko w całości.

Uwagi i zastrzeżenia przyjmowane są w formie pisemnej.

9. Spis załączników.

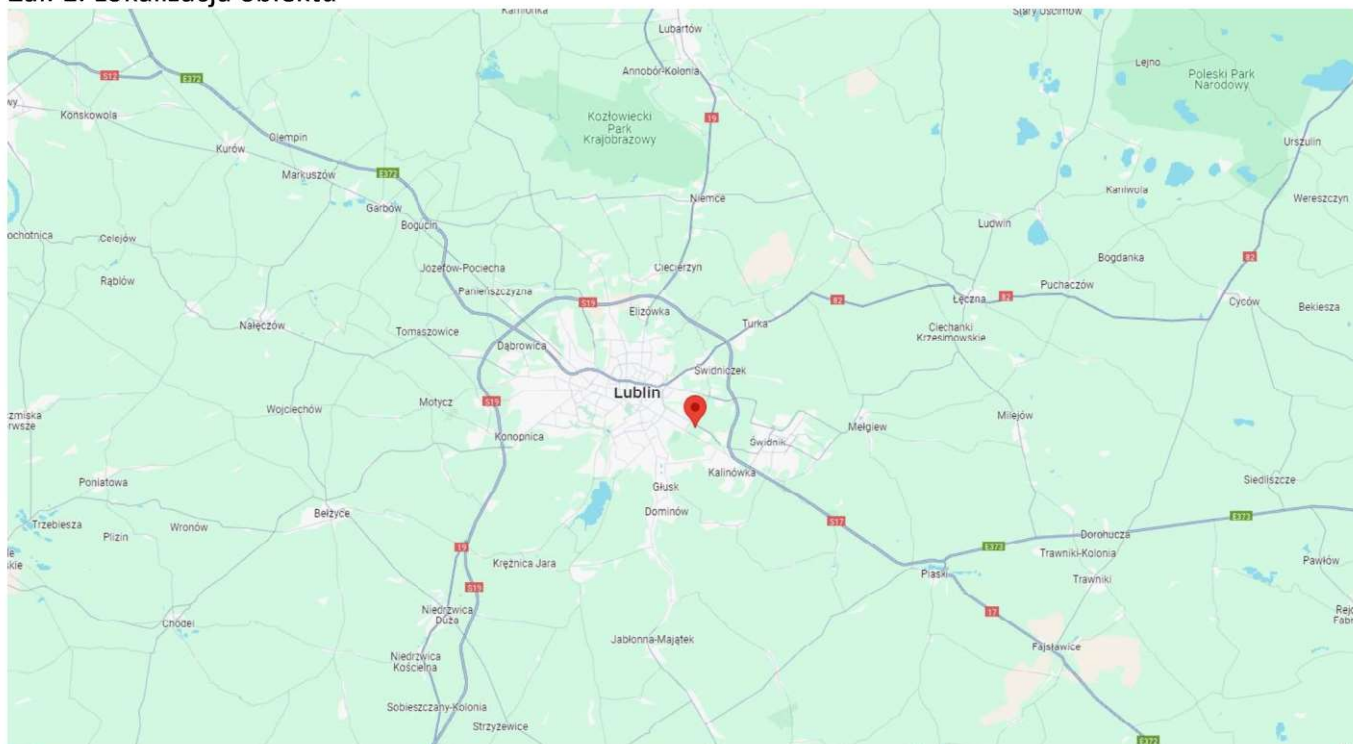
Zał. 1. Lokalizacja obiektu.

Zał. 2. Widok pionów pomiarowych

Zał. 3. Załączniki graficzne

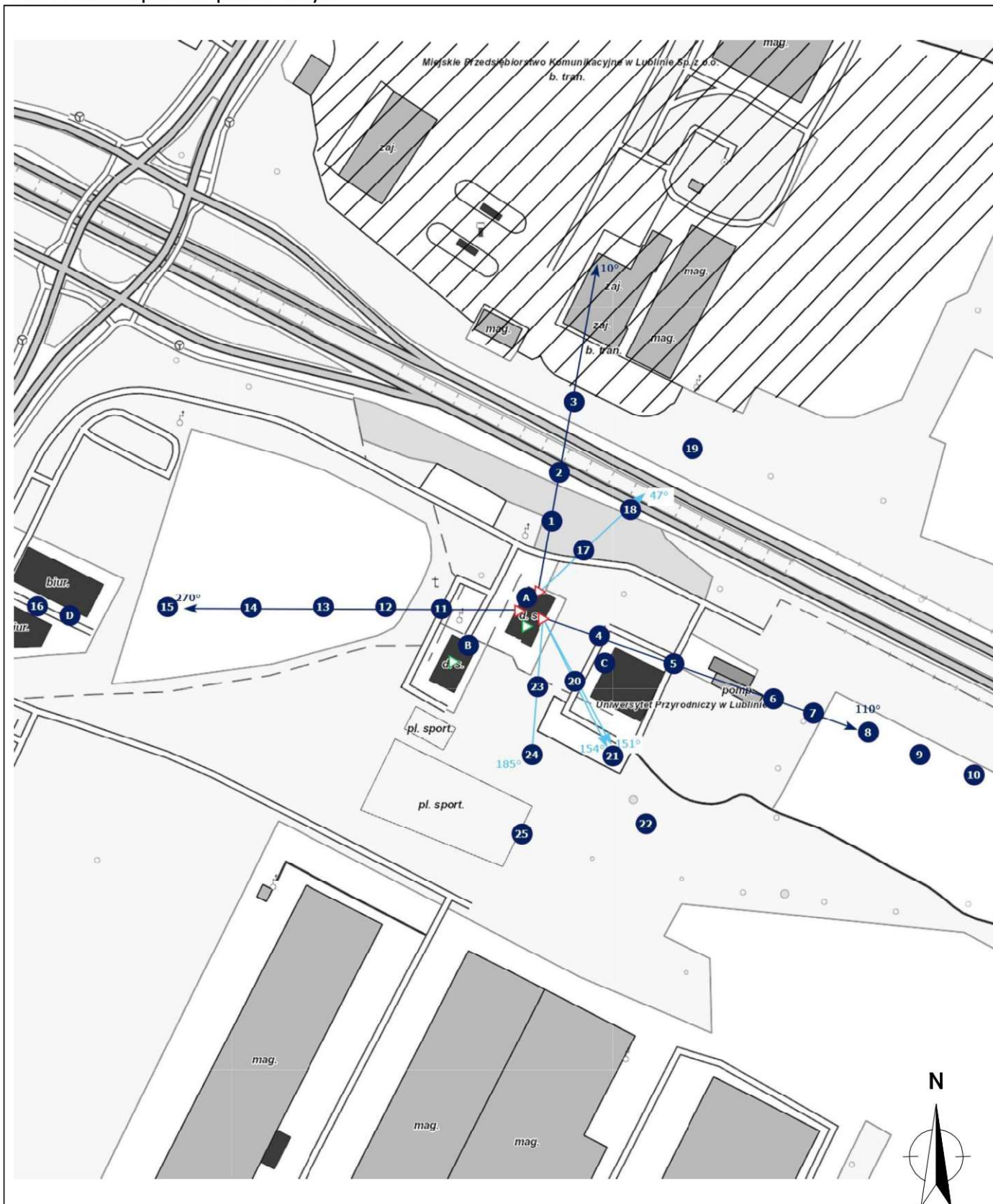
Koniec sprawozdania

Zał. 1. Lokalizacja obiektu





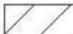
Współrzędne geograficzne	
długość:	22°37'23.63"E
szerokość:	51°13'31.53"N

Załącznik 2. Widok pionów pomiarowych



LEGENDA:

-  inna instalacja telekomunikacyjna
-  instalacja telekomunikacyjna dla której wykonywano pomiar

 brak dostępu

 pion pomiaru

 antena sektorowa

 antena radioliowa

Skala:

1:2900



„Bez pisemnej zgody Laboratorium niniejsze sprawozdanie nie może być powielane inaczej, jak tylko w całości. Ponadto wyniki dotyczą tylko badanych obiektów przywołanych w niniejszym sprawozdaniu z badań”

Załącznik 3. Załączniki graficzne.

